

w4	h3	D	IV	c	CL
w2	h2	C	III	b	
w3	h3	D	IV	c	CL
w4	h4	E	V	d	
w3	h2	D	IV	c	CL
w4		E	V	d	
w3	h2	D	IV	c	CL
w4		V	d	DH	
w3	h3	D	IV	c	CL
w4		V	d	DH	
w3	h2	C	III	b	CL
w4	h3	D	IV	c	
w3	h2	C	III	b	CL
w4	h3	D	IV	c	
w3	h2	C	III	b	CL
w4	h4	D	V	d	
w3	h3	D	IV	c	CL
w4	h4	D	V	d	
w2	h2	C	III	b	CL

GL-146.50m以深、砂岩の含有率上昇する。

GL-147.00~149.20m間、高角度の片理面顕著となる。

GL-150.30~152.00m間、白色の細脈の貫入認められる。

GL-155.40~161.00m間、白色の細脈の低角度貫入認められる。

GL-159.40~163.00m間、破砕質となる。

GL-163.30m以深、砂岩含有率上昇する。

GL-164.00~168.00m間、破砕質となる。

GL-167.90~169.50m間、砂岩主体となり塊状となる。また、白色細脈の貫入が顕著となる。

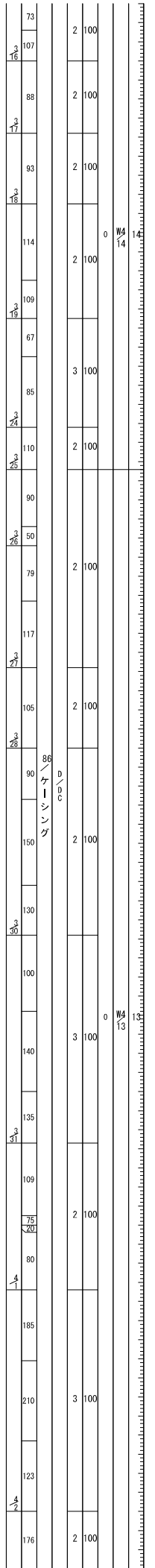
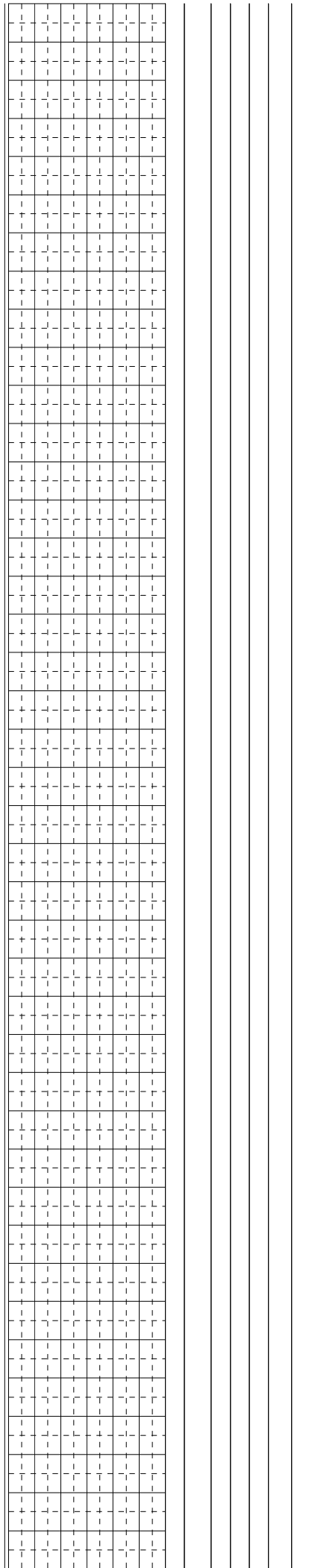
GL-170.50~181.00m間、高角度の亀裂卓越する。

GL-181.00m以深、塊状コア主体となる。

GL-181.50m以深、白色細脈の貫入顕著となる。

GL-187.50~188.85m間、硬質塊状

シラス質の塊状部



86 / ケーシング

0 14

0 13

